

ارزیابی مقررات پیچش آیین نامه های لرزه ای با توجه به تأثیر اندرکنش خاک - سازه

حمزه شکیب* و مهرداد صدرنشین**

بخش مهندسی عمران دانشکده فنی و مهندسی، دانشگاه تربیت مدرس

(دريافت مقاله: ۱۳۷۶/۵/۱۳ - دریافت نسخهٔنهایی: ۱۳۷۸/۲/۲۵)

چکیده - در اين مطالعه اثر پaramترهاي سازه‌اي در پاسخ ساختمانهای نامتقارن با استفاده از تحليل غيرکشسان ديناميکي و با در نظر گرفتن تأثیر اندرکنش خاک - سازه برای گروهي از زلزله‌هاي واقعي ايران مورد بررسی قرار گرفته است. سپس خروج از مرکزیت طراحی حاصل از تحليل با خروج از مرکزیت طراحی آیین نامه های لرزه ای ايران، آمريكا، نيوزيلاند، كنادا، مكسيك، استراليا و اروپا مقایسه شده و با استناد به نقش پaramترهاي مهم سازه‌اي با ملاحظه کردن انعطاف پذيری پايه، معادله‌اي برای خروج از مرکزیت طراحی پیشنهاد شده است.

Evaluation of Torsional Provisions of Seismic Codes Considering Effects of Soil-Structure Interaction

H. Shakib and M. SadrNeshin

Department of Civil Engineering, Tarbiat Modarres University

ABSTRACT- In this study, the effective parameters on the inelastic response of asymmetric buildings is evaluated for an ensemble of real Iranian earthquake records by considering soil-structure interaction. Then, the design eccentricity obtained from the inelastic dynamic soil-structure analysis is

* دانشيار ** کارشناس ارشد

فهرست علائم

بردار تغییر مکان، سرعت و شتاب سیستم سازه‌ای	$\{u\}, \{\dot{u}\}$	ساختمان حول محورهای مربوطه	پارامتر بی بعد فرکانس نسبتهای جرم (یا اینرسی)	a
نیروی برش پایه در حالت متقارن	V_0	ممان اینرسی جرمی بی حول	ماتریس میرابی	B_t, B_r, B_z
سرعت موج برشی	V_s	محورهای مربوطه	ثابت‌های میرابی فرکانس مستقل	$[C]$
فاصله المان i از مرکز سختی در جهت x	x_i	بردارهای ضرایب تاثیر	{ J_x, J_y, J_z }	C_p, C_r, C_z
فاصله المان i از مرکز سختی در جهت y	y_i	ماتریس سختی مماسی سیستم	ضرایب بی بعد وابسته به پی دایره‌ای	C_{11}, C_{22}, C_{12}
ضرایب ثابت خروج از مرکزیت طراحی	α, β	ثابت‌های فن فرکانس مستقل	بی بعد فرکانس	D_t, D_r, D_z
ضرایب پواسون خاک	δ	برای انتقال، چرخش و پیچش	نسبتهای میرابی هندسی	e_a
ضرایب پواسون خاک	μ	ماتریس قطری جرم	خروج از مرکزیت اتفاقی	e_d
فرکانس طبیعی سیستم درجهت x, y و z	$\omega_x, \omega_y, \omega_\theta$	جرم طبقه سیستم در جهت x	خروج از مرکزیت دینامیکی	e_D
نسبت فرکانس طبیعی به جانبی	Ω	جرم پی	خروج از مرکزیت طراحی	e_x, e_y
شعاع ژیراسیون سختی پیچشی حول مرکز سختی	ρ	جرم کل، شامل جرم طبقه به علاوه جرم پی	خروج از مرکزیت بین مرکز	y_x
		شعاع دیسک پی دایره‌ای	جرم و مرکز سختی در جهات x و y	G
			مدول برشی خاک	I_x, I_y, I_z
			ممان اینرسی جرمی طبقه	

compared with the design eccentricity of seismic codes of Iran, ATC-3, New Zealand, Canada, Mexico, Australia and EC8. Finally, a formula for design eccentricity is proposed, regarding some important structural parameters.

می‌آید. از آنجاکه تقاضای شکل‌پذیری و نیز تغییر شکلهای عناصر مقاوم در طرف نرم سازه با طرف سخت متفاوت است، آینده‌نامه‌ها برای متعادل کردن سیستم، معادله‌های خروج از مرکزیت طراحی را به دو صورت زیر بیان می‌کنند

$$e_{D1} = \alpha e_s + \beta b \quad (1)$$

$$e_{D2} = \delta e_s - \beta b \quad (2)$$

معادله اول، خروج از مرکزیت طراحی اولیه و معادله دوم، خروج از مرکزیت طراحی ثانویه نامیده می‌شود. e خروج از مرکزیت بین جرم و سختی سیستم و b بعد پلان در جهت عمود بر زلزله است. نیروی طراحی عناصر مقاوم، بزرگترین مقدار حاصل از حل دو معادله بالاست. معادله‌های (1) و (2) به صورت زیر نیز بیان می‌شوند:

در هنگام وقوع زلزله، به دلیل تغییر شکلهای لحظه‌ای که درون خاک‌ی زیرسازه اتفاق می‌افتد، ممکن است حرکت پی سازه با حرکت زمین در یک فاصله نزدیک از سازه، متفاوت باشد. این اختلاف مشخص کننده تاثیر اندرکنش خاک-سازه است. تاثیر اندرکنش خاک-سازه می‌بین این نکته است که پاسخ دینامیکی یک سازه ساخته شده روی زمین نه تنها به خصوصیات حرکت میدان آزاد وابسته است، بلکه به خواص دینامیکی سازه و خاکی که در زیر سازه قرار گرفته است، نیز بستگی دارد.

از طرف دیگر، به منظور در نظر گرفتن تأثیر درگیری حرکت پیچشی و جانبی سازه‌های نامتقارن، آینده‌نامه‌های لرزه‌ای دستورالعمل‌های خاصی دارند. خروج از مرکزیت، بین مرکز جرم و مرکز سختی باعث ایجاد لنگر پیچشی می‌شود. این لنگر پیچشی با ضرب کردن نیروی برش طبقه در خروج از مرکزیت طراحی به دست

$$e_D = e_d \pm e_a \quad (3)$$

مکزیک، در مورد تأثیرات پیچش در ساختمانهای نامتقارن، قادر حاشیه ایمنی کافی است. اخیراً سیواکوماران [۹] پاسخ یک ساختمان ۵ طبقه را با خروج از مرکزیت یک طرفه که روی یک پی انعطاف پذیر ساخته شده بود، تحت زلزله ۱۹۴۰ ال سترو و ۱۹۸۵ مکزیکوستی مورد مطالعه قرار داده است. نتایج نشان داده که شرایط خاک خیلی نرم مدل تحلیلی، (نمونه بستر عمیق رسی شهر مکزیکوستی) به طور قابل توجهی پاسخ ساختمان را تحت تأثیر قرار می‌دهد، به طوری که بیش از $\frac{1}{3}$ برش طبقه و بیش از نصف پیچشهای طبقه در مقایسه با وقتی که همین مدل روی یک پی صلب قرار گرفته باشند، کاهش می‌یابد. مطالعه دیگری توسط بازان و بیلاک [۱۰] با تأکید بر اهمیت اندرکنش در تعیین نیروهای طراحی سازه‌های نامتقارن انجام شده است، این محققان، یک روش اصلاح شده استاتیکی برای طراحی پیشنهاد داده‌اند که در آن تأثیر اندرکنش بر محاسبه انعطاف پذیری مورد نیاز برای پاسخ برش غیرکشسان یک سازه مورد ارزیابی قرار می‌گیرد و در نهایت تأثیرات پیچش با استفاده از یک روش استاتیکی تکمیلی به صورت روش آین نامه‌های جاری پیشنهاد می‌شود. در مطالعه دیگری که توسط بیلاک [۱۱] انجام شد، برای دقیقت نشان دادن تأثیر اندرکنش خاک-سازه بر پاسخ ساختمانهای، به جای یک مدل، مجموعه‌ای از سیستمهای نامتقارن خاک-سازه استفاده شده است و مطالعه عددی در مورد ساختمانهای با پایه گیردار صورت پذیرفته تا تفاوت‌های دو حالت کاملاً مشخص شود. در مورد ساختمانهای بلند ($T > 0.05$) با نسبت فرکانس‌های پیچشی به جانبی برابر واحد که بر خاک خیلی نرم ساخته شوند، لازم است مقدار پیچش محاسباتی بیش از ۴۰ درصد نسبت به حالتی که همین سازه روی پایه گیردار ساخته شود، افزایش یابد.

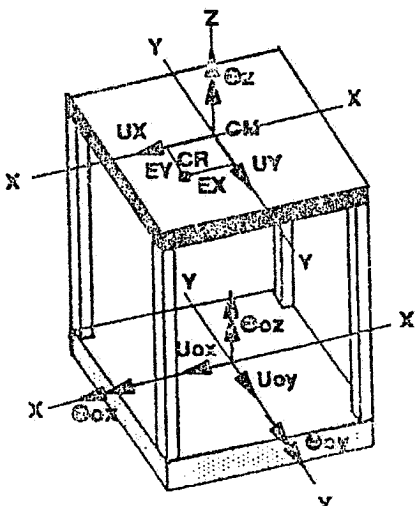
در مطالعه حاضر، مقررات پیچش آین نامه‌های لرزه‌ای معتبر دنیا با مقررات پیچشی حاصل از تحلیل غیرکشسان دینامیکی با توجه به اثر اندرکنش خاک سازه در پاسخ ساختمانهای نامتقارن مورد ارزیابی قرار گرفته و با استناد به نقش پارامترهای مهم سازه معادله‌ای برای خروج از مرکزیت طراحی پیشنهاد شده است.

۲- مقایسه خروج از مرکزیت طراحی در آین نامه‌های لرزه‌ای به منظور مقایسه معادله خروج از مرکزیت طراحی

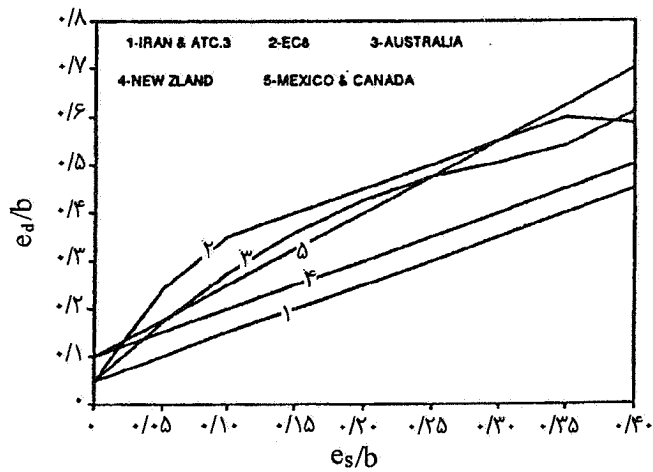
جمله اول این معادله خروج از مرکزیت دینامیکی و جمله دوم آن خروج از مرکزیت اتفاقی نامیده می‌شود. α و β پارامترهای ثابتی‌اند که در آین نامه‌های مختلف متفاوت‌اند. برای ارزیابی کفایت و شایستگی این معادله‌های، محققان زیادی [۳-۱] با توجه به روش‌های تحلیلی و زلزله‌های متفاوت، مطالعاتی را به انجام رسانده‌اند. در اکثر این مطالعات با فرض پایه گیرداری سازه، ضرایب معادله‌های خروج از مرکزیت مورد تجزیه و تحلیل قرار گرفته است. اما اخیراً در مطالعه‌ای با ملحوظ داشتن انعطاف‌پذیری پایه سیستم [۴] این پارامترها ارزیابی شده‌اند. در این مطالعات نشان داده شده که این معادله‌ها به خصوصیات دینامیکی سازه و نیروی زلزله وابسته‌اند. با توجه به نتایج این مطالعات از یک طرف و تأثیر اندرکنش خاک و سازه بر تغییرات خصوصیات دینامیکی سازه و زلزله از طرف دیگر، اندرکنش خاک - سازه می‌تواند اثرات قابل توجهی بر پارامترهای خروج از مرکزیت طراحی داشته باشد.

مطالعات انجام شده برای ارزیابی مقررات پیچش و بررسی اثر پارامترهای مهم سازه‌ای در پاسخ ساختمانهای نامتقارن، با استفاده از مدل‌های ایده‌آل شده یک طبقه‌ای صورت گرفته است [۴-۱]. در تحقیقی که توسط کان و چوپرا [۵] انجام شده، از مدل ایده‌آل شده یک طبقه استفاده شده است. این دو محقق، برای بررسی مقررات پیچش در ارزیابی تمامی ساختمانهای نامتقارن از همان مدل ایده‌آل شده یک طبقه استفاده کرده و آن را منطقی دانسته‌اند.

تاکنون پیشرفت‌های قابل ملاحظه‌ای در کاربرد مدل‌های تحلیلی برای تعیین تأثیر اندرکنش خاک و سازه بر پاسخ پیچشی ساختمانهای نامتقارن حاصل شده است [۶و۷]. گشتاور پیچشی، متاثر از اثر دینامیکی مودهای ارتعاش جانبی و پیچشی است که سبب ایجاد تشدید نیروهای زلزله در اعضای محیطی سازه می‌شود. در اغلب آین نامه‌های ساختمانی این تأثیر در نظر گرفته شده است. با بررسی آثار زلزله سپتامبر ۱۹۸۵ مکزیک، مشخص شد که آسیب جزئی یا کلی اکثر ساختمانها در مکزیکوستی ناشی از تأثیر پیچش بوده است [۸]. اکثر این ساختمانها روی خاکهای نرم آبرفتی با لایه‌های رس تحکیم یافته ساخته شده بودند. نتایج بررسیهای مختلف نشان داد که توصیه‌های طراحی آین نامه زلزله ۱۹۷۷



شکل ۲ - نمایش سه بعدی مدل تحلیلی



شکل ۱ - مقایسه معادلهای خروج از مرکزیت طراحی

در چند آینین نامه معتبر

صورت متتمرکز فرض شده است. برای سازه‌فوقانی سه درجه آزادی، شامل دو حرکت انتقالی و یک چرخش حول محور عمود بر طبقه در نظر گرفته شده است. میرایی سازه متناسب با جرم و سختی فرض شده است. پی ساختمان یک دیسک دایره‌ای صلب است که از ضخامت مماس با سطح نیم فضا صرف نظر شده است. شکل‌های دیگر پی، مانند مستطیل نیز می‌تواند استفاده شود. اما از آنجا که نتایج پاسخ دینامیکی پی دایره‌ای روی یک نیم فضایی کشسان قابل فهم و تفسیر بیشتر است، بدین جهت انتخاب شده است. سیستم خاک - سازه درمعرض حرکت میدان آزاد زمین در امتداد x و y قرار گرفته است. تغییر مکان پاسخ سیستم به صورت سه تغییر مکان در سازه و پنج تغییر مکان اندرکنش شامل دو حرکت انتقال افقی در دو جهت عمود بر هم، چرخش حول این دو محور و پیچش حول محور قائم است.

۴- فرمولبندی و روش حل

δu_{gx} و δu_{gy} نمو حرکت میدان آزاد تغییر مکان افقی در جهات x و y هستند؛ δu_x و δu_y نمو حرکت انتقالی پی در حرکت میدان آزاد است. $\delta \theta_x$ و $\delta \theta_y$ نمو چرخش پی مربوط به حرکت گهواره‌ای حول محورهای x و y هستند. بنابراین نمو کل تغییر مکانهای مرکزی δu_x^t و δu_y^t طبقه در جهات x و y ، δu_x^t و δu_y^t هستند.

$$\delta u_x^t = \delta u_{gx} + \delta u_{x\cdot x} + h \delta \theta_y + \delta u_x \quad (4)$$

آینین نامه‌های ۲۸۰۰ ایران، آمریکا نیوزیلند، کانادا، استرالیا، مرکزیک و اروپایی EC8، تغییرات آنها نسبت به e_S در شکل (۱) نشان داده شده است. در این شکل e_D مربوط به آینین نامه EC8 برای حالت $\Omega=1$ است. این شکل نشان می‌دهد که به جز آینین نامه EC8 و استرالیا، تغییرات e_D نسبت به e_S خطی است. خطی نبودن e_D در آینین نامه EC8 و استرالیا به علت در نظر گرفتن خروج از مرکزیت اضافی e_1 است که خود تابعی از e_S و نسبت سختی پیچشی به سختی جانبی و نیز نسبت ابعاد پلان است. چنانچه ملاحظه می‌شود، مقادیر e_D در آینین نامه EC8 مخصوصاً در خروج از مرکزیتهای حدود $0.05b$ الی $0.3b$ ، بیشتر از مقادیر آینین نامه‌های دیگر بوده و دارای شبیث ثابتی نیست، طوری که در ابتدا دارای شبیث بیشتر است. مقادیر e_D آینین نامه‌های مرکزیک و کانادا با $\alpha=1/5$ به مقادیر e_D آینین نامه EC8 نزدیکتر است. e_D آینین نامه‌های ایران و آمریکا با $\alpha=1$ کمترین مقدار را نسبت به e_D در آینین نامه‌های بالا، بنابراین با توجه به این مقایسه و مقادیر e_D در آینین نامه‌های بالا، بررسی و تجدید نظر خروج از مرکزیت طراحی آینین نامه ۲۸۰۰ ایران ضروری به نظر می‌رسد.

۳- مدلسازی سیستم خاک - سازه

سیستم خاک - سازه انتخابی، یک مدل یک طبقه سه بعدی است که روی سطح یک نیم فضای کشسان همچنان که در شکل (۲) نشان داده است، قرار گرفته است. جرم سازه در سطح طبقه به

$$m\ddot{u}_y^t + m_{\cdot}(\delta\ddot{u}_{gy} + \delta\ddot{u}_{oy}) + \delta V_y(t) = 0 \quad (b)$$

$$hm\ddot{u}_y^t + I_{tx}\delta\ddot{\theta}_x + \delta M_x(t) = 0 \quad (c)$$

$$hm\ddot{u}_x^t + I_{ty}\delta\ddot{\theta}_y + \delta M_y(t) = 0 \quad (d)$$

$$I_z\delta\ddot{\theta}_z^t + I_{oz}(\delta\ddot{\theta}_{gz} + \delta\ddot{\theta}_{oz}) + \delta T(t) = 0 \quad (e)$$

که $\delta V_x(t)$ و $\delta V_y(t)$ نمو برشهای پایه در جهات x و y و $\delta T(t)$ نمو لنگرهای پایه حول محورهای x و y و $\delta M_x(t)$ نمو لنگر پیچشی پایه حول محور قائم z هستند. اینها نموی پنج نیروی اندرکنش مابین پی و نیم فضا هستند. m جرم پی، I_{tx} مترکز شده سطح طبقه و h ارتفاع طبقه سطح بالا پی است. I_{ty} و I_{tz} لنگر اینرسی جرمی کل طبقه شامل پی یا شالوده حول محورهای x، y و z است که این چنین تعریف می‌شوند

$$\delta u_y^t = \delta u_{gy} + \delta u_{oy} + h\delta\theta_x + \delta u_y \quad (f)$$

به طوری که h ارتفاع طبقه بالا پی سازه است؛ δu_x و δu_y مشخص کننده نمو تغییر مکانهای نسبی طبقه در جهات x و y مربوط به تغییر شکلهای سازه‌ای هستند. به طور مشابه نمو چرخش کامل طبقه حول محور قائم گذرنده از مرکز $\delta\theta_z$ است که به صورت زیر داده شده است.

$$\delta\theta_z^t = \delta\theta_{gz} + \delta\theta_{oz} + \delta\theta_z \quad (g)$$

که در آن $\delta\theta_z$ نمو چرخش صلب پی حول محور قائم z و $\delta\theta_{oz}$ نمو چرخش نسبی طبقه حول همین محور است؛ $\delta\theta_{gz}$ نمو چرخش زمین حول محور قائم است و چون از مؤلفه چرخشی حرکت زمین صرف نظر می‌شود، $\delta\theta_{gz}$ از معادله بالا حذف می‌شود. شکل نموی معادله‌های تعادل دینامیکی جرم طبقه با پایه گیردار چنین است

$$I_{tx} = I_{ox} + I_x$$

$$[M]\delta\{u\}^t + [C]\delta\{u\} + [K]_t\delta\{u\} = \{0\} \quad (h)$$

$$I_{ty} = I_{oy} + I_y$$

$$I_{tz} = I_{oz} + I_z \quad (i)$$

در معادله‌های بالا، I_x ، I_y و I_z ممان اینرسی جرمی طبقه حول محورهای x، y و z خودش است. اندیس «۰» مشخص کننده پی یا شالوده است.

اکنون از معادله‌های (4)، (5) و (6) استفاده شده و می‌توان این معادله‌های را به شکل دیگری مطابق زیر نوشت و بردار نمو تغییر مکانهای کل سازه‌ای $\delta\{u\}^t$ را این چنین بیان کرد

$$\delta\{u\}^t = \delta\{u\} + \{J_x\}\delta u_{gx} + \{J_y\}\delta u_{gy} + \{J_z\}\delta u_{ox} + \{J_y\}\delta u_{oy} + \{J_z\}\delta\theta_{oz} + \{h_x\}\delta\theta_y + \{h_y\}\delta\theta_x \quad (j)$$

به طوری که:

به طوری که $\delta\{u\}$ بردار نمو تغییر مکانهای وابسته به تغییر شکلهای سازه‌ای است که با δu_x ، δu_y و δu_z در سطح مشخص شده است؛ $[M]$ ماتریس قطری جرم، $[K]_t$ ماتریس سختی مماسی ساختمان روی یک فونداسیون صلب است که مطابق مرجع [5] ایجاد می‌شود، $[C]$ ماتریس میرایی ویسکوزیته ساختمان روی فونداسیون صلب است. مقادیر $[M]$ و $[C]$ مشابه روش‌های مربوط به ساختمانهای معمولی (با پایه گیردار) محاسبه می‌شوند.

معادله بالا شکل نموی معادله‌های حرکت سازه فوکانی برای انتقال در جهات x و y و چرخش حول محور قائم z گذرنده از مرکز جرم است. به علاوه، پنج شکل نموی معادله‌های حرکت روابط تعادل ساختمان مثل انتقال خالص در جهات x و y، چرخش حول محورهای x و y و پیچش یا چرخش حول محور قائم z به قرار زیر وجود دارد:

$$m\ddot{u}_x^t + m_{\cdot}(\delta\ddot{u}_{gx} + \delta\ddot{u}_{ox}) + \delta V_x(t) = 0 \quad (k)$$

$I_{by} = I_{ty} + h^2 m$ و $I_{bx} = I_{tx} + h^2 m$ است. نیروهای اندرکنش برای حالت دیسک صلب دایره‌ای، مطابق آنچه توسط بالندرا و همکاران [۶] داده شده، به صورت زیر است

$$\begin{aligned}\delta V_x(t) &= C_t \delta \dot{u}_{ox} + K_t \delta u_{ox} \\ \delta V_y(t) &= C_t \delta \dot{u}_{oy} + K_t \delta u_{oy} \\ \delta M_x(t) &= C_r \delta \theta_{ox} + K_r \delta \theta_{ox} \\ \delta M_y(t) &= C_r \delta \theta_{oy} + K_r \delta \theta_{oy} \\ \delta T(t) &= C_z \delta \theta_{oz} + K_z \delta \theta_{oz}\end{aligned}\quad (18)$$

که در آن ثابت‌های فنر فرکانس مستقل به صورت زیر داده می‌شوند

$$K_t = \frac{32(1-\mu)Gr}{(\gamma-\lambda)\mu}$$

$$K_r = \frac{\lambda Gr}{3(1-\mu)}$$

$$K_z = \frac{16Gr}{3} \quad (19)$$

و ثابت‌های میرایی به صورت زیر داده شده‌اند

$$C_t = 2D_t \sqrt{K_t m_t}$$

$$C_r = 2D_r \sqrt{K_r I_r}$$

$$C_z = 2D_z \sqrt{K_z I_z} \quad (20)$$

به طوری که $I_{tz} = I_{tx} = I_{ty}$ و $I_r = I_z$ و نسبت‌های میرایی هندسی (یا تشعشعی) بدین گونه داده می‌شوند

$$D_t = \frac{\circ/228}{\sqrt{B_t}}$$

$$D_r = \frac{\circ/15}{(1+B_r)\sqrt{B_r}}$$

$$D_z = \frac{\circ/50}{(1+2B_z)} \quad (21)$$

و نسبت‌های جرم (یا اینرسی) با معادله‌های زیر داده شده‌اند

$$B_t = \frac{(\gamma-\lambda)\mu m_t}{32(1-\mu)\rho r^3}$$

$$B_r = \frac{3(1-\mu)I_r}{\lambda\rho r^5}$$

$$B_z = \frac{I_z}{\rho r^5} \quad (22)$$

$$\{J_x\}^T = \{1 \ 0 \ 0\}$$

$$\{J_y\}^T = \{0 \ 1 \ 0\}$$

$$\{J_z\}^T = \{0 \ 0 \ 1\}$$

$$\{h_x\}^T = \{h \ 0 \ 0\}$$

$$\{h_y\}^T = \{0 \ h \ 0\}$$

(11)

اکنون با جایگذاری برای بردار نمو شتاب کل $\delta\{\ddot{u}\}^t$ از معادله

(۱۰) در معادله (۷) خواهیم داشت:

$$\begin{aligned}[M] \{\delta\{\ddot{u}\} + \{J_x\}\delta\ddot{u}_{gx} + \{J_y\}\delta\ddot{u}_{gy} + \{J_z\}\delta\ddot{u}_{ox} + \\ \{J_y\}\delta\ddot{u}_{oy} + \{J_z\}\delta\theta_{oz} + \{h_x\}\delta\theta_y + \{h_y\}\delta\theta_x\} + \\ [C]\delta\{\dot{u}\} + [K]_t\{u\} = \{0\}\end{aligned}$$

که می‌تواند به شکل استاندارد مجدد مرتب شود:

$$\begin{aligned}[M]\delta\{\ddot{u}\} + [C]\delta\{\dot{u}\} + [K]_t\{u\} + [M]\{J_x\}\delta\ddot{u}_{ox} + \\ [M]\{J_y\}\delta\ddot{u}_y + [M]\{J_z\}\theta_{oz} + [M]\{h_x\}\delta\theta_y + \\ [M]\{h_y\}\delta\theta_x = -[M]\{J_x\}\delta\ddot{u}_{gx} - [M]\{J_y\}\delta\ddot{u}_{gy} \quad (12)\end{aligned}$$

بنابراین معادله (۸) می‌تواند به شکل زیر اصلاح شود

$$\begin{aligned}\{J_x\}^T [M]\delta\{\ddot{u}\} + m_t \delta\ddot{u}_{ox} + L_{ro} \delta\ddot{\theta}_y + \delta V_x(t) \\ = -m_t \delta\ddot{u}_{gx} \quad (13)\end{aligned}$$

$$\begin{aligned}\{J_y\}^T [M]\delta\{\ddot{u}\} + m_t \delta\ddot{u}_{oy} + L_{ro} \delta\ddot{\theta}_x + \delta V_y(t) \\ = -m_t \delta\ddot{u}_{gy} \quad (14)\end{aligned}$$

$$\begin{aligned}\{H_y\}^T [M]\delta\{\ddot{u}\} + L_{ro} \delta\ddot{u}_{oy} + I_{bx} \delta\ddot{\theta}_x + \delta M_x(t) \\ = -L_{ro} \delta\ddot{u}_{gy} \quad (15)\end{aligned}$$

$$\begin{aligned}\{H_x\}^T [M]\delta\{\ddot{u}\} + L_{ro} \delta\ddot{u}_{ox} + I_{by} \delta\ddot{\theta}_y + \delta M_y(t) \\ = -L_{ro} \delta\ddot{u}_{gx} \quad (16)\end{aligned}$$

$$\{J_z\}^T [M]\delta\{\ddot{u}\} + I_{tz} \delta\ddot{\theta}_{oz} + \delta T(t) = 0 \quad (17)$$

در اینجا $m_t = m_x + m_z$ در نظر گرفته می‌شود به طوری که m_t جرم طبقه بعلوه پی است و $L_{ro} = mh$ جمع لنگرهای جرم طبقه، حول پی ساختمان است و در معادله‌های (۱۵) و (۱۶)

جدول ۱- مشخصات شتابنگاشتهای زلزله‌های اعمالی بر سازه

ردیف	ایستگاه	مؤلفه	سال و قوع	حداکثر شتاب زمین (cm/sec ²)
۱	طبس	N16W	۱۳۵۷	۹۱۵
۲	طبس	S74E	۱۳۵۷	۸۶۲
۳	ناغان	L	۱۳۵۶	۷۰۹
۴	ناغان	T	۱۳۵۶	۶۰۵
۵	آب‌بر	L	۱۳۶۹	-۵۱۶
۶	آب‌بر	T	۱۳۶۹	۴۹۲
۷	گلبا	L	۱۳۶۰	۲۱۸
۸	قائمن	L	۱۳۵۸	۲۰۴
۹	لاهیجان	T	۱۳۶۹	۱۷۲
۱۰	زنجان	L	۱۳۶۹	۱۲۵

در جهت عمود بر صفحه خود و نیز از سختی پیچشی آنها صرف‌نظر شده است. خروج از مرکزیت بین مرکز جرم و مرکز سختی با تغییر سختی عناصر به وجود می‌آید. پارامترهای متغیر برای سیستم عبارت از e_x , e_y , T_x , T_y , $\frac{a}{b}$, $\frac{\omega_x}{\omega_y}$ و سختی خاک اند که با تغییر سرعت موج برشی خاک V_s صورت می‌گیرد، به طوری که تأثیر هر یک از این پارامترها بر پاسخ سیستم، مورد مطالعه قرار گرفته است.

فondasiون به صورت یک پی گسترده دایره‌ای فرض می‌شود. ساع معادل برای پی طوری محاسبه شده است که پلان مستطیلی طبقه در دایره محاط شود.

خصوصیات سیستم به کمک پارامترهای $(e_x, e_y, \frac{a}{b}, \frac{\omega_x}{\omega_y})$ و (V_s) تشریح شده است: $\frac{e_x}{b}$ نسبت خروج از مرکزیت استاتیکی به بعد پلان ساختمان است که از صفر الی 40° متغیر در نظر گرفته شده؛ T_y پریود طبیعی سیستم است که از 250° الی 4° ثانیه به کار گرفته شده؛ $\frac{a}{b}$ نسبت ابعاد پلان است که از 250° الی 4° فرض شده است. مقادیر $\frac{\omega_x}{\omega_y}$ نسبت فرکانس پیچشی به جانبی است که این نسبت، با تغییر جرم پیچشی تغییر می‌کند و در این مطالعه برای آن مقادیر 250° الی 4° در نظر گرفته شده است. V_s سرعت موج برشی است که از 50° الی 800° متر بر ثانیه متغیر گرفته شده است. میرایی سازه 5% میرایی بحرانی در هر مود ارتعاش (برای سازه با پایه گیردار) فرض شده و همچنین چگالی خاک برابر 2500 kg/m^3 و

نمودارهای درگیر شده حرکت (۱۲ الی ۱۷) به صورت عددی و با فرض تغییرات خطی شتاب در یک فاصله کوتاه زمانی Δt حل می‌شوند. با توجه به رفتار غیرکشسان سیستم، برای تامین شرایط پایداری روش عددی، فواصل زمانی $\frac{T_x}{100} \leq \Delta t$ فرض شده، به طوری که T_x پریود اصلی سازه است. برای فواصل زمانی که طی انتقال از حالت کشسان به موسمان یا از یک حالت موسمان به حالت موسمان دیگر روی می‌دهد، سختی مماسی مجدداً محاسبه می‌شود. برای این کار، از یک روش تکراری اصلاحی پیش‌بینی شده برای کاهش نیروهای نامتعادل ایجاد شده با تقریب عددی کوچک [۵] استفاده می‌شود. در این مطالعه، مطابق مرجع [۱۲] از یک سطح تسليیم دو محوره که اندرکنش نیروها را در دو جهت در نظر گیرد، استفاده شده است.

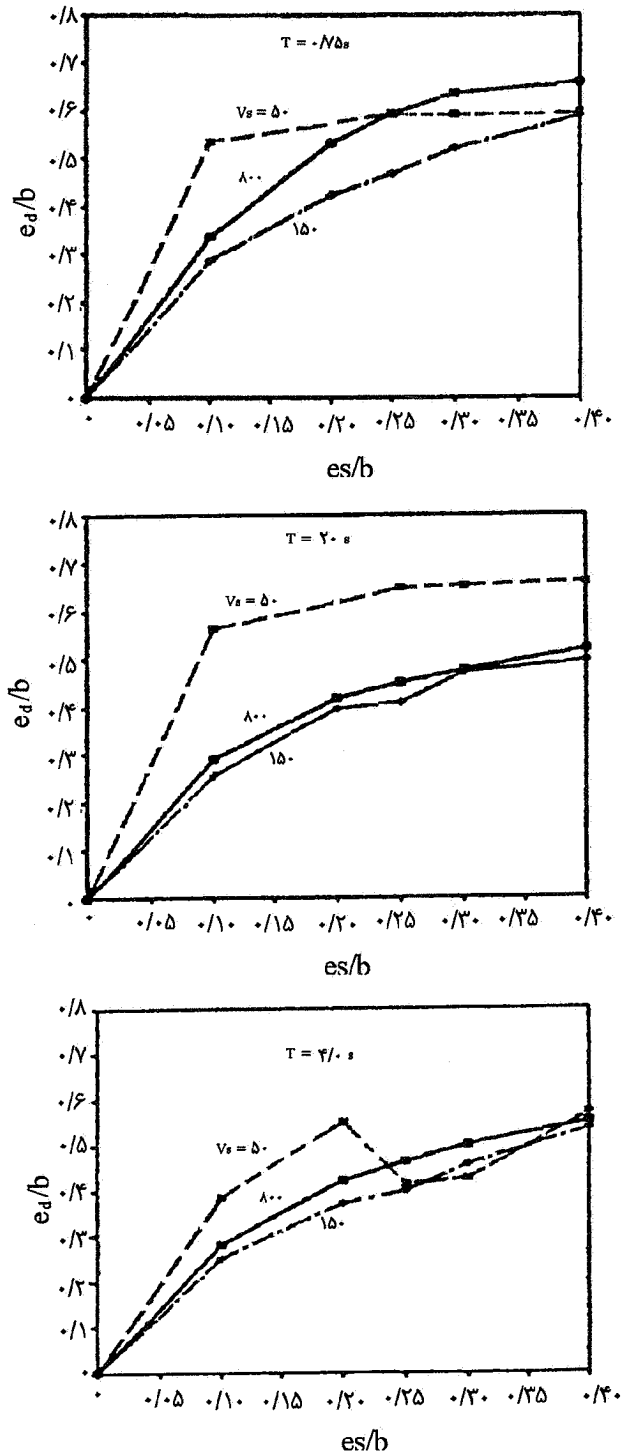
۵- بررسی اثر پارامترهای سازه‌ای به منظور مطالعات عددی رفتار غیرکشسان سیستمهای نامتقارن، با در نظر گرفتن اندرکنش خاک - سازه و بررسی پارامترهای مؤثر در پاسخ آن تحت اثر زلزله، از سیستم نشان داده شده در شکل (۲) استفاده شده است. فرض می‌شود که کف صلب دارای جرم m با توزیع یکنواخت باشد، به طوری که مرکز جرم و مرکز هندسی پلان کف بر هم منطبق باشند. از سختی عناصر مقاوم

نیروی زلزله در دو جهت به طور همزمان را دارد، اما در این مطالعه، سیستم نامتناصرن با خروج از مرکزیت یک طرفه در یک جهت در معرض شتابنگاشتهای واقعی زلزله‌های ایران مطابق جدول (۱) قرار داده شده و تحلیل صورت گرفته است. از آنجایی که یک سیستم در معرض هر شتابنگاشتی پاسخ متفاوتی دارد لذا، به منظور اعمال اثرات فرایندهای تصادفی، میانگین حداکثر پاسخ اثرات پارامترهای مورد نظر تحت زلزله‌های اعمالی مورد ارزیابی قرار گرفته است. در این مطالعه، هرگاه به پاسخ اشاره می‌شود، منظور میانگین حداکثر پاسخهای ده رکورد زلزله‌های واقعی ایران است.

۵-۱- اثر خروج از مرکزیت استاتیکی (e_s/b) تغییرات خروج از مرکزیت دینامیکی $\frac{e_d}{b}$ ، نسبت به خروج از مرکزیت استاتیکی $\frac{e_s}{b}$ ، در شکل (۳) نشان داده شده است. در این شکل مشاهده می‌شود که با افزایش خروج از مرکزیت استاتیکی، خروج از مرکز دینامیکی افزایش می‌یابد. هرچند روند افزایش خروج از مرکز دینامیکی برای خاکهای سخت و متوسط تقریباً منظم (به صورت منحنی درجه دو) است، اما روند افزایش خروج از مرکز دینامیکی برای خاکهای نرم چنین منظم نیست، به طوری که در پریودهای مختلف رفتارهای متفاوتی را از خود نشان می‌دهد. مثلاً کاهی بعد از یک افزایش اولیه $\frac{e_d}{b}$ ثابت می‌ماند و گاهی (در $T = 4$ ثانیه) بعد از یک افزایش اولیه $\frac{e_d}{b} = 0$ کاهش می‌یابد.

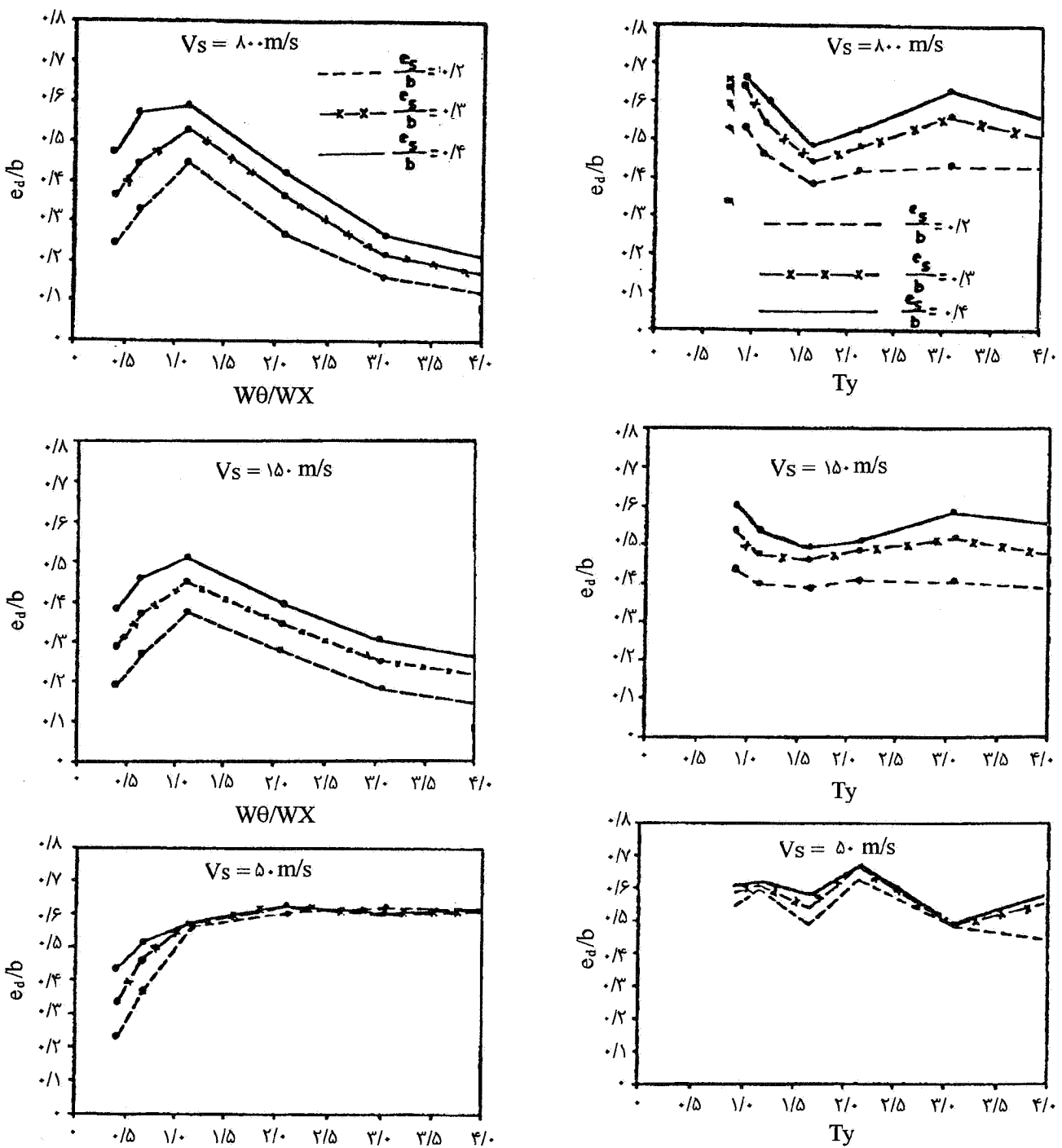
۵-۲- اثر پریود (T_y) تغییرات خروج از مرکز دینامیکی $\frac{e_d}{b}$ نسبت به پریود T_y ، در شکل (۴) نشان داده شده است. در این شکل مشاهده می‌شود که هر چند افزایش پریود، تأثیر چندانی بر خروج از مرکزیت دینامیکی برای خاکهای سخت و متوسط ندارد، به طوری که با افزایش پریود، خروج از مرکزیت دینامیکی تقریباً ثابت می‌ماند (بهخصوص برای خروج از مرکزیتهای استاتیکی کوچک) اما برای خاکهای نرم از هیچ نظم خاصی تبعیت نمی‌کند و تنها در خروج از مرکزیتهای بزرگ می‌توان یک منحنی از بین نقاط رسم کرد. اما در حالت کلی، به جز برای چند حالت، همواره خروج از مرکزیت دینامیکی در خاک نرم بزرگتر از خاک سخت و متوسط است.

۵-۳- اثر نسبت فرکانس پیچشی به جانبی ($\frac{\omega_x}{\omega_\theta}$) تغییرات خروج از مرکزیت دینامیکی $\frac{e_d}{b}$ ، نسبت به فرکانس پیچشی به جانبی $\frac{\omega_\theta}{\omega_x}$ ، در شکل (۵) نشان داده شده است. در این شکلها مشاهده می‌شود که علاوه بر اینکه همواره خروج از مرکزیت دینامیکی برای



شکل ۳- تغییرات خروج از مرکزیت دینامیکی نسبت به خروج از مرکزیت استاتیکی با توجه به شرایط متفاوت خاک

ضریب پواسون خاک برابر $\mu = 0.33$ در نظر گرفته شده است. برای نیل به اهداف این مطالعه با توجه به الگوریتم ارائه شده، برنامه رایانه‌ای ایجاد شده است. هرچند برنامه رایانه‌ای قابلیت اعمال

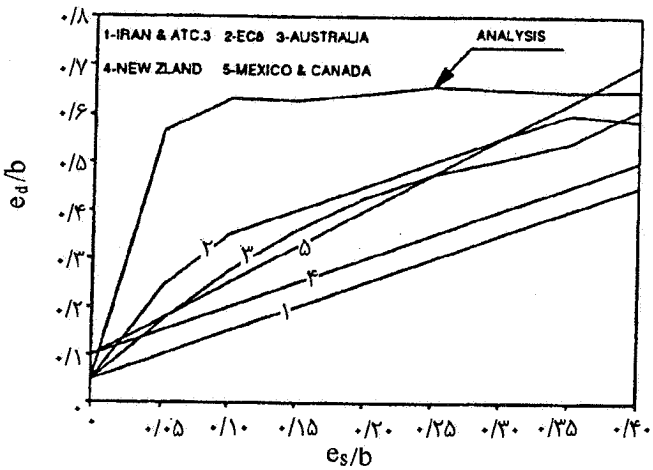


شکل ۵- تغییرات خروج از مرکزیت دینامیکی نسبت به فرکانس پیچشی به جانبی با توجه به شرایط متفاوت خاک

افزایش این نسبت $\frac{e_d}{b}$ کاهش می‌یابد ($\frac{e_d}{b}$ حداکثر در $\Omega = 1$ اتفاق می‌افتد)، اما برای خاکهای نرم بعد از نسبت $\Omega = 1$ ، برای تمام خروج از مرکزیتهای استاتیکی، خروج از مرکزیت دینامیکی ثابت می‌ماند.

شکل ۴- تغییرات خروج از مرکزیت دینامیکی نسبت به پریود سازه با توجه به شرایط متفاوت خاک

خاک نرم بزرگتر از خاک سخت و متوسط است و همچنین با افزایش نسبت فرکانس پیچشی به جانبی تا $\Omega = 1$ ، خروج از مرکزیت دینامیکی افزایش می‌یابد، برای خاکهای سخت و متوسط با



شکل ۷- مقایسه نتایج تحلیل دینامیکی با معادله خروج از مرکزیت طراحی چند آینه نامه

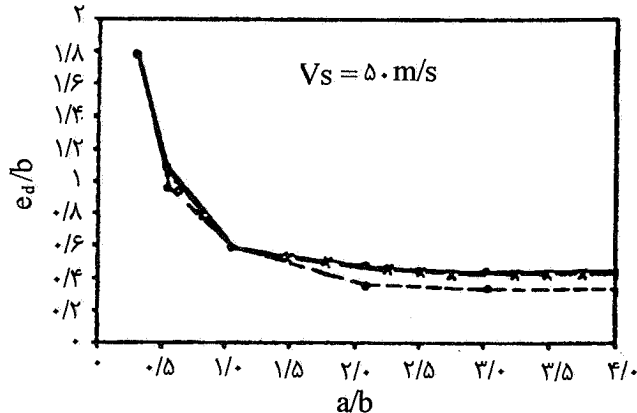
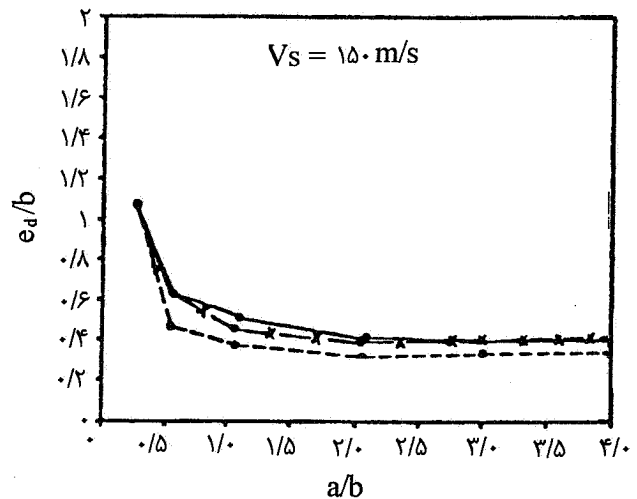
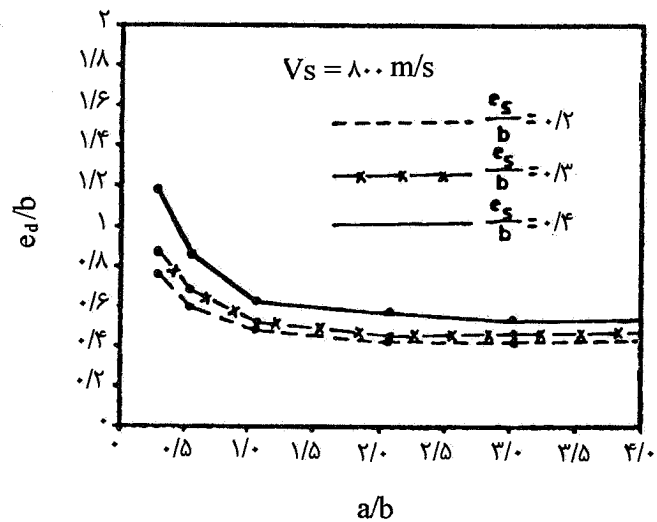
کاهش نسبت ابعاد پلان تا $\frac{a}{b}$ ، خروج از مرکزیت دینامیکی کاهش می‌یابد و سپس تقریباً ثابت می‌ماند، اما برای خاکهای ترم، با افزایش نسبت ابعاد پلان تا $\frac{a}{b}$ ، خروج از مرکزیت دینامیکی کاهش می‌یابد و آنگاه تقریباً ثابت باقی می‌ماند.

۶- مقایسه خروج از مرکزیت طراحی با نتایج حاصل از تحلیل

در شکل (۷) تغییرات خروج از مرکزیت طراحی آینه نامه های ایران، امریکا، اروپایی EC8، استرالیا، کانادا، مکزیک و نیوزیلند، نسبت به خروج از مرکزیت استاتیکی e_S ، به همراه نتایج حاصل از تحلیل غیر کشسان دینامیکی انجام شده برای خاک بسیار نرم ($V_s = 50 \text{ m/s}$) در حالت ۱، $T_y = 1$ و $\Omega = 1$ نشان داده شده است. به منظور مقایسه مقادیر حاصل از تحلیل دینامیکی با روابط آینه نامه لرزه ای، خروج از مرکزیت اتفاقی در این مطالعه برای تحلیل دینامیکی برابر با $b/0.05$ در نظر گرفته شده است. این مقادیر از معادله زیر به دست می آیند

$$e_D = \frac{T}{V_s} + 0.05 \quad (23)$$

به طوری که در این معادله T لنگر پیچشی سیستم دارای خروج از مرکزیت و V_s نیروی برشی سیستم بدون خروج از مرکزیت است. T و V_s میانگین حداقل پاسخ سیستم تحت ده نگاشت



شکل ۶- تغییرات خروج از مرکزیت دینامیکی نسبت به ابعاد پلان با توجه به شرایط متفاوت خاک

۴-۵- اثر ابعاد پلان (a/b) تغییرات خروج از مرکزیت دینامیکی $\frac{e_d}{b}$ ، به نسبت ابعاد پلان $\frac{a}{b}$ ، در شکل (۶) نشان داده شده است. همچنانکه مشاهده می شود، برای خاکهای سخت و متوسط با

مقایسه آن با مقادیر پیشنهادی آئین نامه های مختلف، در این قسمت سعی می شود، معادله ای برای خروج از مرکزیت طراحی ارائه شود به طوری که دارای شکل کلی مشابه معادله پیشنهادی آئین نامه های لرزه ای بوده و بر نتایج تحلیل دینامیکی، در حل قابل قبولی منطبق باشد.

از طرفی، با توجه به بررسی نقش پارامترهای مختلف سازه ای در پاسخ ساختمنهای نامتقارن با پایه انعطاف پذیر مشخص شد که خروج از مرکزیت طراحی علاوه بر e_s به پارامترهای دیگر سیستم از جمله نسبت فرکانس پیچشی به جانبی و نسبت ابعاد پلان بستگی دارد. بنابراین، برای ارزیابی مقادیر منطقیتر پیچش حاصل از عدم تقارن، لازم است که پارامترهای فوق الذکر در محاسبه خروج از مرکزیت طراحی منظور شوند. در اینجا با استفاده از نتایج حاصل از تحلیل دینامیکی معادله ای نسبتاً ساده که پارامتر بالا در آن وارد شده است، پیشنهاد می شود. این معادله از میان تمام منحنیهایی که بر نتایج تحلیل رایانه ای برآش داده شده است، انتخاب و اصلاح شده است. با توجه به روند تغییرات e_D نسبت به Ω و $\frac{a}{b}$ معادله پیشنهادی به صورت زیر بیان می شود

$$e_D = C_f C_a \left[\frac{\Omega / 35}{e_s / b} + \frac{0.5}{\sqrt{e_s / b}} \right] e_s + 0.05b \quad (24)$$

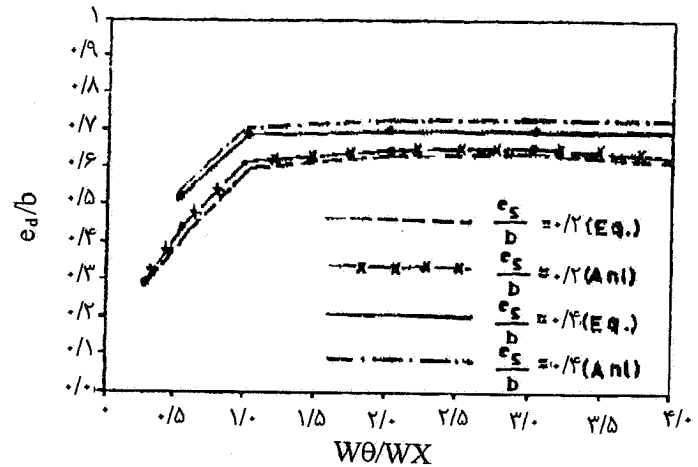
به طوری که C_f ضریب مربوط به تأثیر فرکانس پیچشی به جانبی است و به طریق زیر محاسبه می شود

$$\begin{aligned} C_f &= (0.1 + \Omega)^{1/2} \quad \Omega \leq 1 \\ C_f &= 1/1 - \frac{0.5}{\Omega} \quad \Omega > 1 \end{aligned} \quad (24-\text{الف})$$

C_a در معادله (24) ضریب مربوط به تأثیر نسبت ابعاد پلان است و به روش زیر محاسبه می شود

$$C_a = [0.5 + \frac{0.6}{a/b}] \quad (24-\text{ب})$$

شکل (۸) تغییرات e_D نسبت به Ω را برای نتایج حاصل از تحلیل رایانه ای و پیشنهاد بالا نشان می دهد. این شکل نشان می دهد که روند تغییرات e_D پیشنهادی، مشابه و نزدیک مقادیر حاصل از



شکل ۸- مقایسه نتایج تحلیل دینامیکی با معادله پیشنهادی خروج از مرکزیت طراحی با تأثیر نسبت فرکانس پیچشی به جانبی

واقعی زلزله های ثبت شده ایران است، جدول (۱). نسبت خروج از مرکزیت مؤثر e_E نیز نامیده می شود، که مقدار آن همان طور که بعضی از آئین نامه ها پیشنهاد داده اند برابر e_S نیست، بلکه نسبت به e_S دارای تغییرات بوده و برای e_S های کوچک حدود ۳ الی ۴ برابر آن خواهد بود. در واقع تغییرات ضریب تشدید خروج از مرکزیت $\frac{e_E}{e_S} = \alpha$ نسبت به e_S خطی نیست. آئین نامه های کانادا و مکزیک شبیث ثابت ۱/۵ را برای آن ارائه کرده اند که هر چند نسبت به نتایج تحلیل دست پایین است، اما نسبت به مقادیر آئین نامه های ۲۸۰۰ ایران و نیوزیلند به نتایج تحلیل نزدیکتر است. روند تغییرات e_D پیشنهادی آئین نامه EC8 مشابه تغییرات منحنی حاصل از نتایج تحلیل دینامیکی است.

این شکل همچنین نشان می دهد که e_D پیشنهادی آئین نامه ۲۸۰۰ ایران و ATC-۳ امریکا و نیوزیلند ۹۲ برای تمام e_S ها مقادیر کمتر از مقدار واقعی دارد. مطالعات گذشته نیز این مطلب را تأیید می کند. بنابراین به نظر می رسد که پیشنهاد معادله مناسبتری که e_D را به مقادیر واقعی نزدیک سازد، در آئین نامه ۲۸۰۰ ایران لازم خواهد بود. از بین پیشنهادات آئین نامه های مورد بحث، e_D در آئین نامه EC8 دارای روند تغییرات مشابه تحلیل دینامیکی بوده و به مقادیر آن نزدیکتر است.

۷- پیشنهاد خروج از مرکزیت طراحی

با توجه به نتایج حاصل از تحلیل غیر کشسان دینامیکی و

حداکثر پاسخ این شتابنگاشت‌ها مورد مطالعه و تجزیه و تحلیل قرار گرفته است، که اهم نتایج به قرار زیراست:

- برای منظور کردن تأثیر کوپل پیچشی در محاسبه نیروهای طراحی سازه نامتقارن، اکثر آیین‌نامه‌های لرزه‌ای معادلاتی برای خروج از مرکزیت طراحی پیشنهاد کردند، به جز معادله پیشنهادی آیین‌نامه EC8، معادله‌های آیین‌نامه‌های لرزه‌ای دیگر تابعی خطی از e_D است، در حالی که این مطالعه و مطالعات گذشته [۳-۱] نشان می‌دهد که تغییرات e_D نسبت به e_S خطی نبوده و به پارامترهای دیگر سیستم نظری $\Omega = \frac{a}{b}$ و شرایط خاک بستگی دارد.

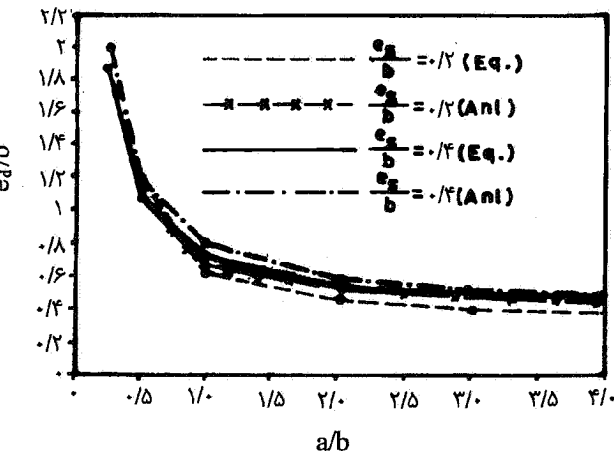
- معادله‌های پیشنهادی آیین‌نامه‌ها همواره دست پایین است. (به جز آیین‌نامه مکزیک که در خروج از مرکزیتهای بزرگ پاسخهای دست بالا به دست می‌دهد).

- معادله آیین‌نامه‌های ایران و ATC-۳ امریکا نسبت به آیین‌نامه‌های دیگر دست پایینتر بوده و در مقایسه با نتایج تحلیل نیز دست پایین است.

- دستورالعمل پیچشی آیین‌نامه EC8 نسبت به آیین‌نامه‌های دیگر، برآورد خوبی از خروج از مرکزیت طراحی اولیه، ارائه می‌دهد. با این حال برای شرایط خاک بسیار نرم دست پایین است. با توجه به نقش پارامترهای مؤثر در پاسخ پیچشی سازه نامتقارن، معادله‌ای برای خروج از مرکزیت طراحی پیشنهاد شده است که این معادله ضمن سادگی، پارامترهای مذکور را نیز در بر دارد. با توجه به کنترلهای انجام شده، این معادله می‌تواند ارزیابی منطقی از پیچش حاصل از عدم تقارن با توجه به تأثیر اندرکش خاک - سازه داشته باشد.

قدرتانی

این مطالعه نتایج بخشی از طرح تحقیقاتی بررسی مقررات پیچش آیین‌نامه لرزه‌ای ایران است که با حمایت مرکز تحقیقات ساختمان و مسکن به انجام رسیده است و بدین‌وسیله از مسئولین و کلیه کارکنان مرکز تشکر و قدردانی می‌گردد.



شکل ۹- مقایسه نتایج تحلیل دینامیکی با معادله پیشنهادی خروج از مرکزیت طراحی با تأثیر نسبت ابعاد پلان

تحلیل دینامیکی است، البته به دلیل اینکه معادله پیشنهادی ساده‌شده و تقریبی است، مقداری با نتایج حاصل از تحلیل تفاوت دارد که چندان زیاد نیست، ولی همواره سعی شده است که معادله‌های پیشنهادی محافظه کارانه باشد تا پاسخها دست پایین برآورد نشوند.

شکل (۹) تغییرات e_D نسبت به $\frac{a}{b}$ برای پیشنهاد بالا و نتایج حاصل از تحلیل دینامیکی را نشان می‌دهد. این شکل نشان می‌دهد که معادله پیشنهادی برای $\frac{a}{b}$ های مختلف، مقدار e_D را بسیار نزدیک به مقادیر حاصل از تحلیل دینامیکی محاسبه می‌کند. علت آن این است که چون تغییرات e_D نسبت به $\frac{a}{b}$ دارای روند منظمی بوده و نسبت به تغییرات آن حساسیت زیادی ندارد، لذا معادله ساده بالا برای تغییرات e_D نسبت به $\frac{a}{b}$ دقت لازم را خواهد داشت.

۸- نتیجه‌گیری

به منظور بررسی تأثیر اندرکنش خاک - سازه بر رفتار لرزه‌ای سازه‌های نامتقارن و اثر پارامترهای مهم سازه‌ای در پاسخ و پیشنهاد معادله‌ای برای خروج از مرکزیت طراحی بهمنظور محاسبه لنگر پیچشی ناشی از عدم تقارن پاسخ غیرکشسان مدل ایده‌آل یک طبقه با درجه آزادی تحت یک گروه ده‌تایی شتابنگاشت زلزله‌های ثبت شده ایران به روشن تحلیل دینامیکی در دامنه زمان انجام و میانگین

1. Chopra, K., and Goel, K., "Evaluation of Torsional Provision in Seismic Codes," *Jr. of Structural Eng.*, ASCE, Vol. 117, PP. 3762-3782, 1991.
2. Chandler, A.M., and Duan, X.N., "Evaluation of Factors Influencing the Inelastic Seismic Performance of Torsionally Asymmetric Buildings," *Earthquake Eng. and Structural Dynamics*, Vol. 20, PP. 87-95, 1991.
3. Tso, W.K., and Dempsey, K.M., "Seismic Torsional Provisions for Dynamic Eccentricity," *Earthquake Eng. and Structural Dynamics* Vol.8, PP. 273-889, 1980.
4. Sikaroudi, H., and Chandler, A.M., "Structure-Foundation Interaction in the Earthquake Response of Torsionally Asymmetric Buildings," *Soil Dyn. and Earthquake Eng.* 11, PP. 1-16, 1992.
5. Kan. C.L., and Chopra, A.K., "Simple Model for Earthquake Response Studies of Torsionally Coupled Buildings," *Jr. Eng. Mech. Div., ASCE*, Vol. 107, No. EM 5, PP. 935-951, Oct. 1981.
6. Balendra, T., Tat, C.W. and Lee, S.L., "Modal - Damping for Torsionally Coupled Buildings on Elastic Foundation," *Earthquake Eng. and Structural Dyn.*, Vol. 10, PP. 735-756, 1982.
7. Sikaroudi, H., and Chandler, A.M., "Structure - Foundation Interaction in the Earthquake Response of Torsionally Asymmetric Buildings," *Soil Dyn. and Earthquake Eng.*, 11, PP. 1-16, 1992.
8. Rosenblueth, E., and Meli, R., "The 1985 Earthquake Causes and Effects on Mexico City," *Concrete Int.* 8(5), PP. 23-34, 1986.
9. Sivakumaran, K.S., "Soil-Structure Interaction Effects on Seismic Response of Mono-Symmetric Buildings," *Proc. 4 th Int. Conf. on Soil Dyn. and Earthquake Eng.*, Mexico City, 3(2), PP. 209-223, 1989.
10. Bazan, E., and Bielak, J., "Inelastic Torsional Response of Soil-Structure Interaction Systems," *Proc. 4th Int. Conf. on Soil Dyna. and Earthquake Eng.*, Mexico City, October 1989.
11. Bielak, J., "Earthquake Response of Building Foundation System," Rep. EERL 71-04, Earthquake Eng. Res. Lab.; Calif. Inst. of Tech.; Pasadena, Calif, 1971.
12. Shakib H., and Datta, T.K., "Inelastic Response of Torsionally Coupled System to an Ensemble of Non-Stationary Ground Motion," *Jr. of Engineering Structural*, Buttsworth, U.K., Vol. 15, No: 1, PP. 13-20, 1993.